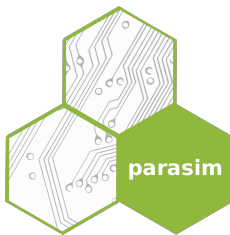


Analýza robustnosti spojitých dynamických systémů v distribuovaném prostředí



Jan Papoušek

soustava diferenciálních rovnic

$$\frac{\mathbf{y}}{dt} = f(\mathbf{y})$$

$$t \geq t_0, \mathbf{y}(t_0) = \mathbf{y}_0$$

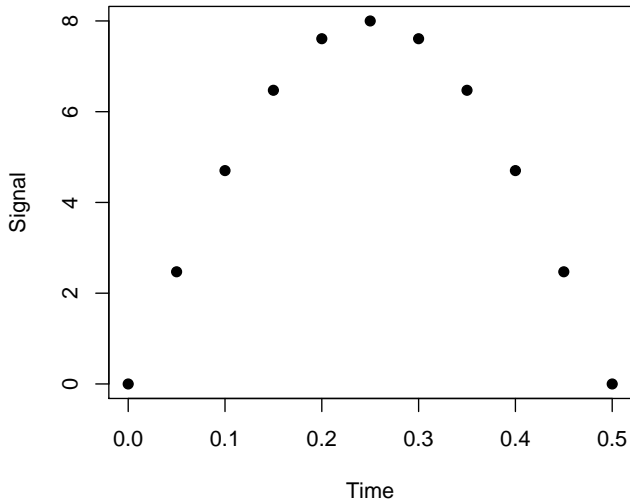
numerická simulace

$$t_{n+1} = t_n + h$$

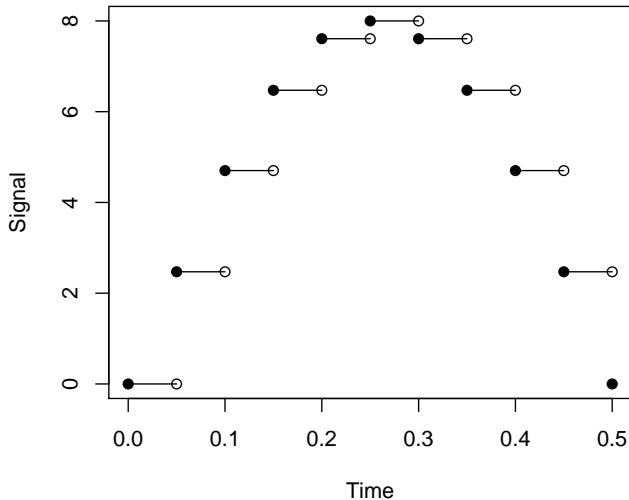
$$\mathbf{y}_n \sim \mathbf{y}(t_n)$$

(trejektorie chování, signál)

Chování dynamického systému



Chování dynamického systému



$$U = \{\mu_1, \mu_2, \dots, \mu_k\}$$

$$\mu_i : \mathbb{R}^n \rightarrow \{T, F\}$$

$$U = \{\mu_1, \mu_2, \dots, \mu_k\}$$

$$\mu_i : \mathbb{R}^n \rightarrow \{T, F\}$$

atomické propozice

$$P = \{1, \dots, k\}$$

$$\varphi := T \mid p \mid \neg\varphi \mid \varphi_1 \wedge \varphi_2 \mid \varphi_1 \mathbf{U}_{[a,b]} \varphi_2$$

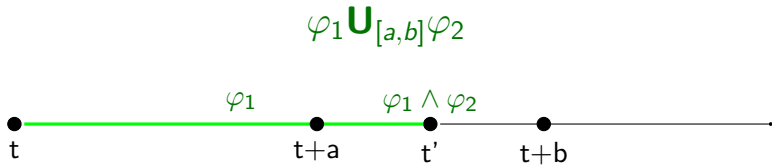
$$\varphi := T \mid p \mid \neg\varphi \mid \varphi_1 \wedge \varphi_2 \mid \varphi_1 \mathbf{U}_{[a,b]}\varphi_2$$

$$(\mathbf{y}, t) \models p \iff \mu_p(\mathbf{y}(t)) = T$$

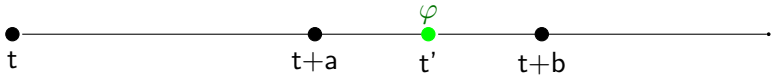
$$(\mathbf{y}, t) \models \neg\varphi \iff (\mathbf{y}, t) \not\models \varphi$$

$$(\mathbf{y}, t) \models \varphi_1 \wedge \varphi_2 \iff (\mathbf{y}, t) \models \varphi_1 \text{ a současně } (\mathbf{y}, t) \models \varphi_2$$

$$\begin{aligned} (\mathbf{y}, t) \models \varphi_1 \mathbf{U}_{[a,b]}\varphi_2 &\iff \exists t' \in [t + a, t + b]. (\mathbf{y}, t') \models \varphi_2 \\ &\quad \text{a současně } \forall t'' \in [t, t']. (\mathbf{y}, t'') \models \varphi_1 \end{aligned}$$



$$F_{[a,b]}\varphi \ (TU_{[a,b]}\varphi)$$



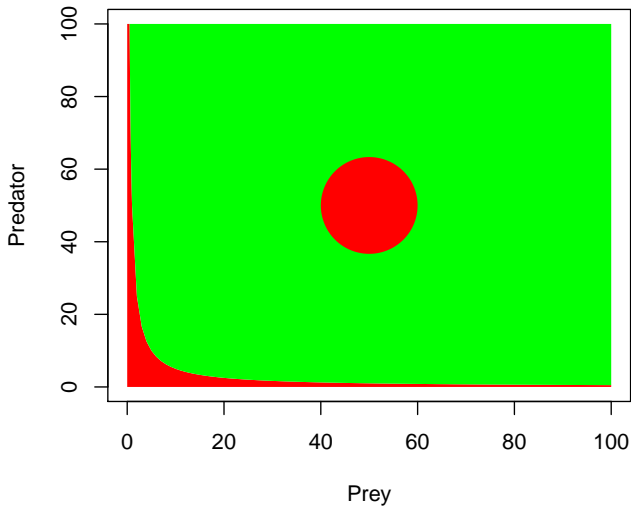
$$\mathbf{G}_{[a,b]}\varphi \ (\neg \mathbf{F}_{[a,b]}\neg \varphi)$$



$$\frac{dY_1}{dt} = \nu Y_1 - \alpha Y_1 \cdot Y_2 \qquad \frac{dY_2}{dt} = \alpha Y_1 \cdot Y_2 - \mu Y_2$$

proměnné (Y_1 , Y_2) – počáteční hodnoty

koefficienty (μ , ν , α)



$$U' = \{\mu'_1, \mu'_2, \dots, \mu'_k\}$$

$$\mu'_i : \mathbb{R}^n \rightarrow \mathbb{R}$$

$$U' = \{\mu'_1, \mu'_2, \dots, \mu'_k\}$$

$$\mu'_i : \mathbb{R}^n \rightarrow \mathbb{R}$$

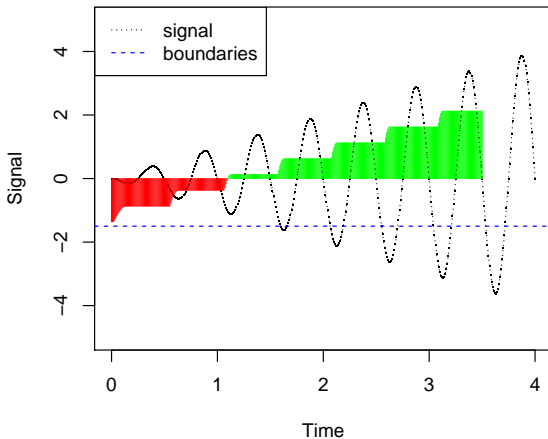
$$\rho(p, \mathbf{y}, t) = \mu'_p(\mathbf{y}(t))$$

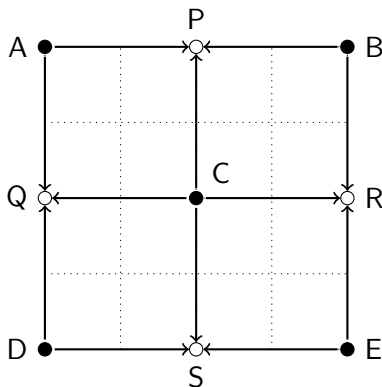
$$\rho(\neg\varphi, \mathbf{y}, t) = -\rho(\varphi, \mathbf{y}, t)$$

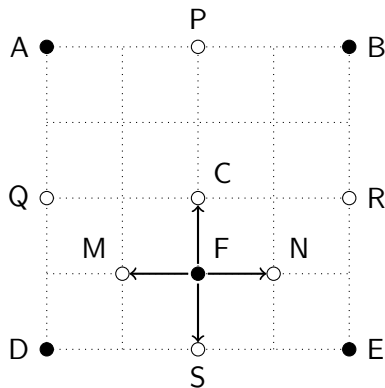
$$\rho(\varphi_1 \wedge \varphi_2, \mathbf{y}, t) = \min(\rho(\varphi_1, \mathbf{y}, t), \rho(\varphi_2, \mathbf{y}, t))$$

$$\rho(\varphi_1 \mathbf{U}_{[a,b]} \varphi_2, \mathbf{y}, t) = \max_{t' \in [t+a, t+b]} \min(\rho(\varphi_2, \mathbf{y}, t'), \min_{t'' \in [t, t']} \rho(\varphi_1, \mathbf{y}, t''))$$

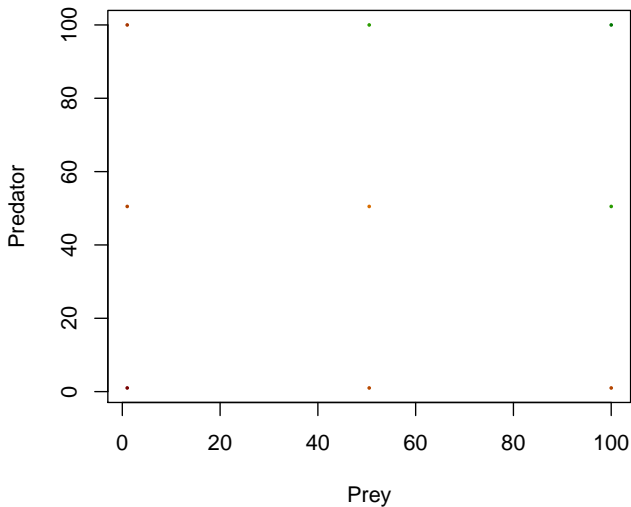
$$\mathbf{F}_{[0, \frac{1}{2}]} \mathbf{x} \leq -k$$



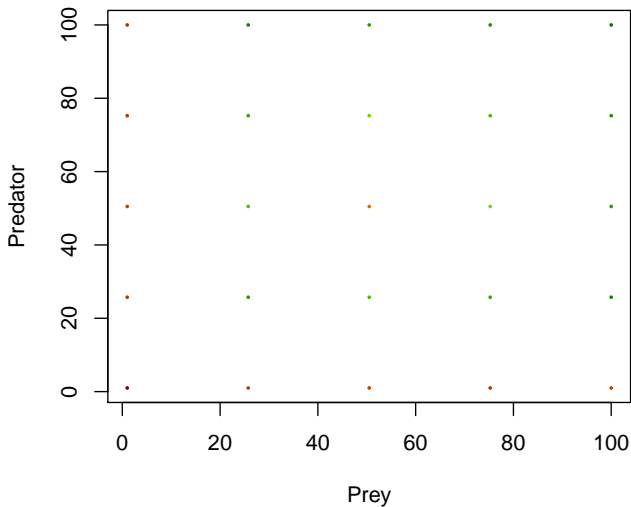




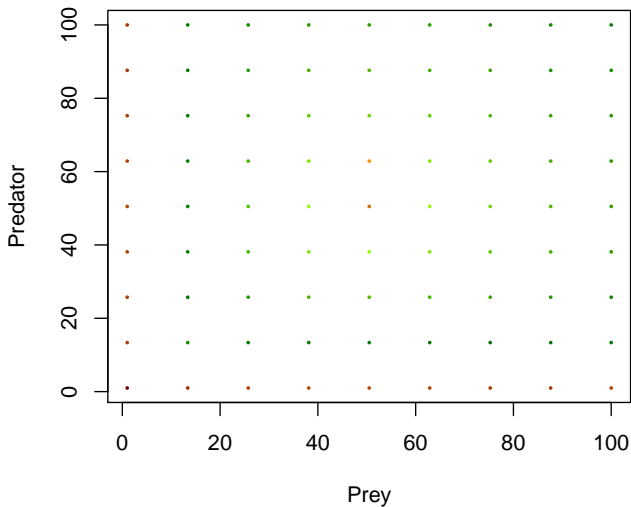
Průběh analýzy



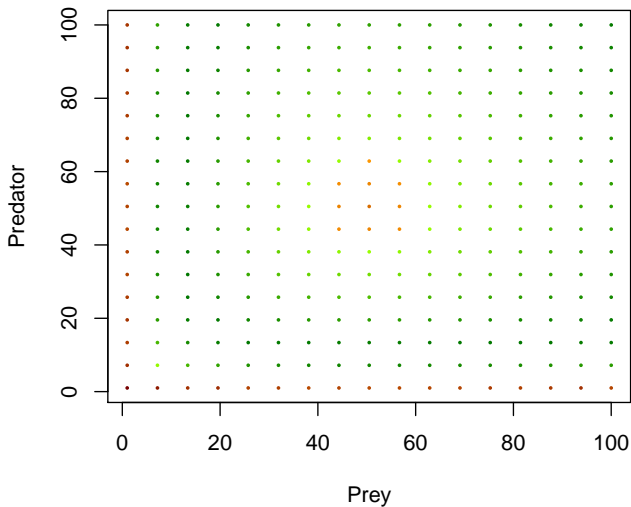
Průběh analýzy



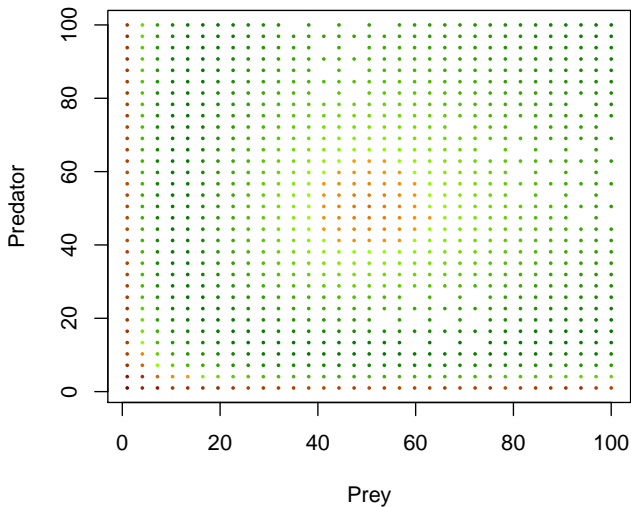
Průběh analýzy



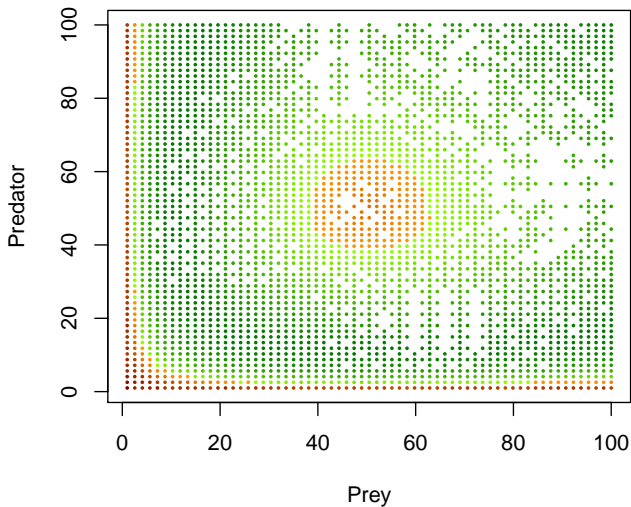
Průběh analýzy



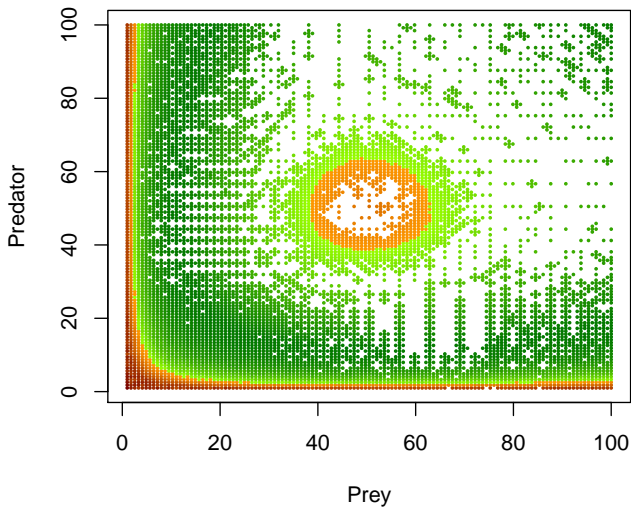
Průběh analýzy



Průběh analýzy



Průběh analýzy



parasim

nástroj pro paralelní simulaci a verifikaci

- jádro

- životní cyklus
- kontexty + služby
- jednotná konfigurace
- obohacování objektů
- vzdálený přístup

- rozšíření

- numerická simulace
- výpočet robustnosti
- zahušťování
- výpočetní model
- vizualizace
- uživatelské rozhraní
- a další ...

- **jádro**
 - životní cyklus
 - kontexty + služby
 - jednotná konfigurace
 - obohacování objektů
 - vzdálený přístup
- **rozšíření**
 - numerická simulace
 - výpočet robustnosti
 - zahušťování
 - výpočetní model
 - vizualizace
 - uživatelské rozhraní
 - a další ...

- jádro

- životní cyklus
- kontexty + služby
- jednotná konfigurace
- obohacování objektů
- vzdálený přístup

- rozšíření

- numerická simulace
- výpočet robustnosti (2 implementace, Tomáš Vejpustek)
- zahušťování
- výpočetní model
- vizualizace (Tomáš Vejpustek)
- uživatelské rozhraní (Tomáš Vejpustek)
- a další ...

abstrakce nad konkrétním výpočetním prostředím

$$V = V_1 \oplus V_2 \oplus \dots \oplus V_k$$

V konečný výsledek

V_i mezivýsledky

\oplus asociativní a komutativní operace spojování

- 2 výpočetní prostředí:
 - sdílená paměť
 - distribuovaná paměť
- výpočet má na starost kontejner → výpočetní prostředí
- na začátku 1 výpočetní instance
- instance může kdykoliv vytvářet nové → kontejner
- kontejner sbírá výsledky z vypočtených instancí
→ konečný výsledek

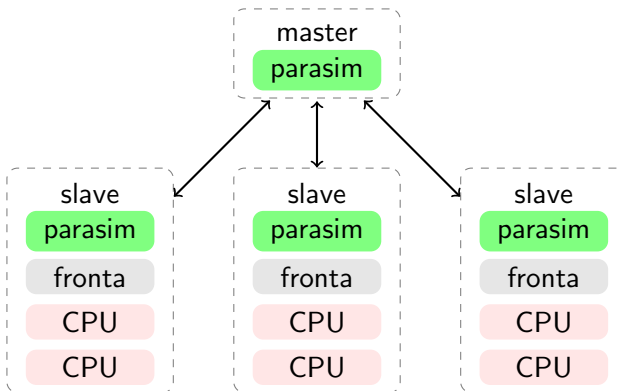
- 2 výpočetní prostředí:
 - sdílená paměť
 - distribuovaná paměť
- výpočet má na starost kontejner → výpočetní prostředí
- na začátku 1 výpočetní instance
- instance může kdykoliv vytvářet nové → kontejner
- kontejner sbírá výsledky z vypočtených instancí
→ konečný výsledek

- 2 výpočetní prostředí:
 - sdílená paměť
 - distribuovaná paměť
- výpočet má na starost kontejner → výpočetní prostředí
- na začátku 1 výpočetní instance
- instance může kdykoliv vytvářet nové → kontejner
- kontejner sbírá výsledky z vypočtených instancí
→ konečný výsledek

- 2 výpočetní prostředí:
 - sdílená paměť
 - distribuovaná paměť
- výpočet má na starost kontejner → výpočetní prostředí
- na začátku 1 výpočetní instance
- instance může kdykoliv vytvářet nové → kontejner
- kontejner sbírá výsledky z vypočtených instancí
→ konečný výsledek

- 2 výpočetní prostředí:
 - sdílená paměť
 - distribuovaná paměť
- výpočet má na starost kontejner → výpočetní prostředí
- na začátku 1 výpočetní instance
- instance může kdykoliv vytvářet nové → kontejner
- kontejner sbírá výsledky z vypočtených instancí
→ konečný výsledek

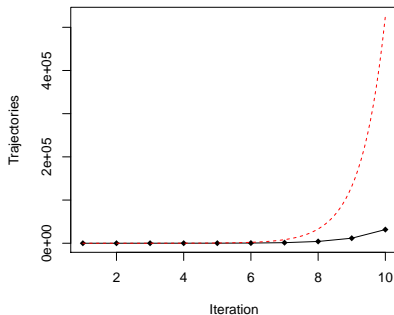
Distribuované prostředí



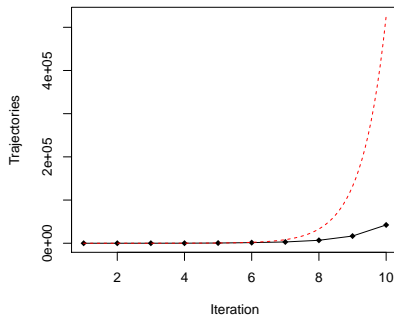
- vytvoření instance
- začátek výpočtu instance
- konec výpočtu instance
- balancováno
- konec výpočtu

Počet potřebných primárních bodů

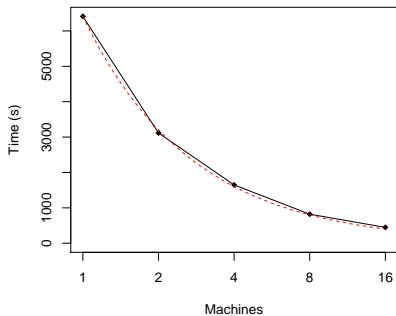
Lorenz 84



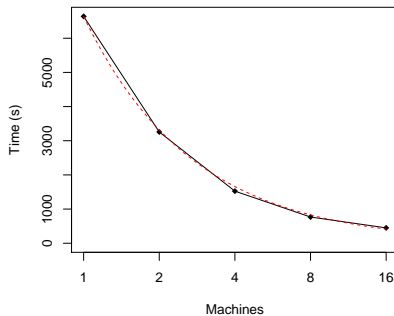
Lotka-Volterra



Lorenz 84



Lotka-Volterra



- rozšíření algoritmu pro analýzu dynamických systémů o lokální robustnost
- implementace v nástroji Parasim
- paralelizace ve sdílené a distribuované paměti
- velký důraz na rozšiřitelnost

Otázky

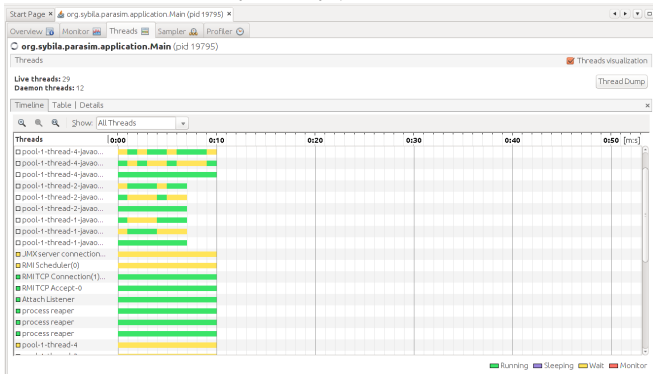
$$\begin{aligned} &\text{busy} \geq \text{BUSY_BOUND} \\ &\quad \wedge \\ &\text{idle} \leq \text{IDLE_BOUND} \\ &\quad \wedge \\ &\text{busy} \geq K \cdot \text{idle} \end{aligned}$$

balancuje se instance s nejvyšší úrovní zahuštění

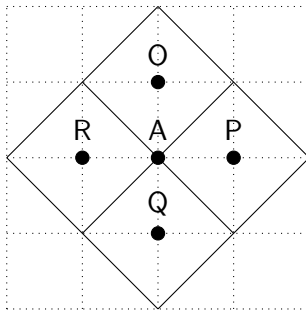
alternativou je instance s nejnižším cache hit
(výpočetně náročnější)

Podíl numerické simulace na času výpočtu (90 %)

jvisualvm (odhad) / vlastní rozšíření

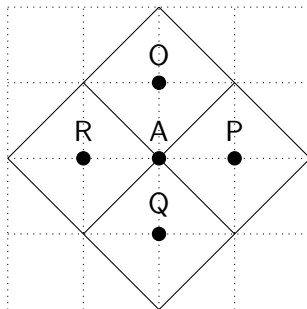


aktuálně vypnuté z důvodu výkonu



$$f(A) = \frac{R_A + f(O) + f(P) + f(Q) + f(R)}{5}$$

aktuálně vypnuté z důvodu výkonu



$$f(A) = \frac{R_A + \sum_{i=1}^{|N|} f(N_i) + (2d - |N|) \cdot R_A}{1 + 2d}$$

Kritická místa aplikace a možná vylepšení I

- numerická simulace (nyní GNU Octave)
- plná podpora SBML
- možnost navázat na předchozí výpočty
- vizualizace pro více parametrů
- refaktorování za účelem výpočtu globální robustnosti

Kritická místa a možná vylepšení II

